

# Steife Anfangswertprobleme - Stabilität

Theo Koppenhöfer

10. Juni 2020

“Wer sichere Schritte tun will,  
muss sie langsam tun.”

J.W. von Goethe

# Outline

(I) Einleitung

(II) Allgemeines

(III) Stabilitätsgebiete

(IV) Stabilitätsbegriffe

(V) Zusammenfassung

## Beispiel (Das Testproblem)

Wir betrachten für  $\lambda < 0$  das Anfangswertproblem

$$\begin{cases} x' = \lambda x \\ x(0) = x_0 = 1 \end{cases}$$

mit Phasenfluss

$$\Phi^t = \exp(t\lambda)$$

und expliziter Lösung

$$x(t) = \Phi^t x_0 = \exp(t\lambda) x_0$$

## Beispiel (Testproblem und explizites Euler-Verfahren)

Das explizite Euler-Verfahren hat den diskreten Phasenfluss

$$\Psi_{\text{expl. Euler}}^{\tau} = 1 + \tau\lambda$$

und liefert die explizite Lösung für den  $k$ -ten Gitterpunkt bei einer konstanten Gitterschrittweite  $\tau$

$$\begin{aligned} x_k &= \Psi_{\text{expl. Euler}}^{\tau} x_{k-1} = \left[ \Psi_{\text{expl. Euler}}^{\tau} \right]^2 x_{k-2} = \dots \\ &= \left[ \Psi_{\text{expl. Euler}}^{\tau} \right]^k x_0 = (1 + \tau\lambda)^k x_0 \end{aligned}$$

Das Testproblem führt beim expliziten Euler-Verfahren mit  $\lambda < 0$  und einer zu großen Schrittweite  $\tau$  zu bemerkenswerten Verhalten.

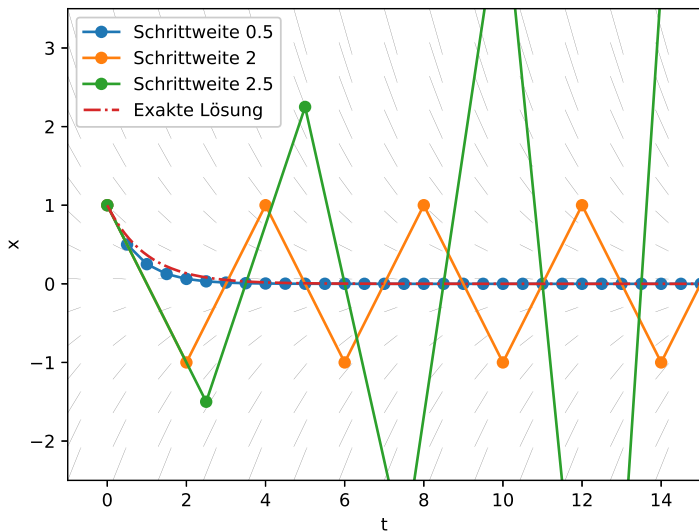


Abbildung: Expliziter Euler angewandt auf  $x' = -x$  mit  $x(0) = 1$

Das Problem ist asymptotisch stabil, die Lösung des expliziten Euler-Verfahrens für zu großes  $\tau$  dagegen nicht. Für  $\lambda \ll 0$  muss man  $\tau \ll 1$  wählen, um dieses Verhalten zu unterbinden. Probleme mit diesem Verhalten nennen wir steif.

### Beispiel (Testproblem und implizites Euler-Verfahren)

Wir definieren den diskreten Phasenfluss des impliziten Euler-Verfahrens durch

$$\Psi_{\text{impl. Euler}}^\tau := \frac{1}{1 - \tau\lambda}$$

Damit erhalten wir die explizite Lösung

$$x_k = [\Psi_{\text{impl. Euler}}^\tau]^k x_0 = \frac{1}{(1 - \tau\lambda)^k} x_0$$

Die Lösung des impliziten Euler-Verfahrens für das Testproblem ist für alle  $\tau > 0$  und alle  $\lambda < 0$  asymptotisch stabil.

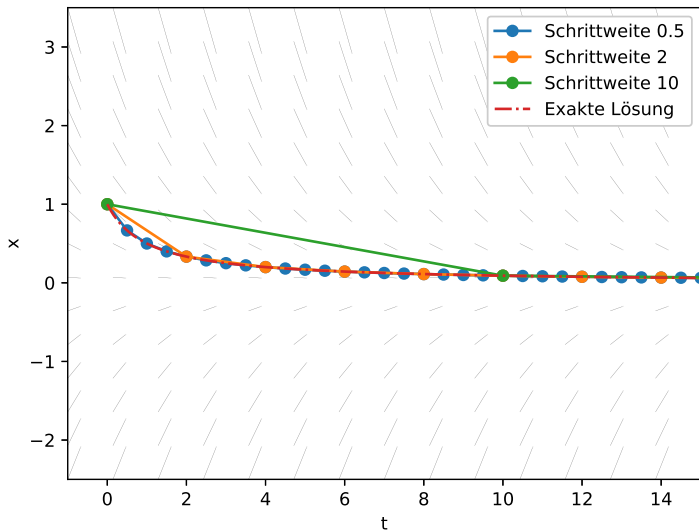


Abbildung: Impliziter Euler angewandt auf  $x' = -x$  mit  $x(0) = 1$



Warum?

## (II) Allgemeines

Es sei das lineare autonome Anfangswertproblem

$$\begin{cases} \mathbf{x}' = A\mathbf{x} \\ \mathbf{x}(0) = \mathbf{x}_0 \end{cases}$$

mit  $A \in \mathbb{C}^{n \times n}$  gegeben. Mit dem Phasenfluss

$$\Phi^t = \exp(tA)$$

erhält man die exakte Lösung

$$\mathbf{x}(t) = \Phi^t \mathbf{x}_0$$

Wir betrachten einen diskreten Phasenfluss der Form

$$\Psi^\tau = R(\tau A) = P(\tau A)(Q(\tau A))^{-1} = \frac{P(\tau A)}{Q(\tau A)}$$

mit  $P, Q$  Polynome.

Damit das Verfahren Konsistenzordnung  $p$  hat, muss gelten

$$R(\tau A) = \Psi^\tau = \Phi^\tau + \mathcal{O}(\tau^{p+1}) = \exp(\tau A) + \mathcal{O}(\tau^{p+1})$$

also für  $z \in \mathbb{C}$ ,  $z \rightarrow 0$

$$R(z) = \exp(z) + \mathcal{O}(z^{p+1})$$

## Beispiel

Beim expliziten Euler ist

$$R_{\text{expl. Euler}}(z) = 1 + z = \exp(z) + \mathcal{O}(z^2)$$

und beim impliziten Euler

$$R_{\text{impl. Euler}}(z) = \frac{1}{1-z} = 1 + z + \mathcal{O}(z^2) = \exp(z) + \mathcal{O}(z^2)$$

Bei den Runge-Kutter-Verfahren ist  $R = P$ , also  $Q = 1$ .

Wir wollen wissen, wann die Rekursion

$$\mathbf{x}_k = \Psi^\tau \mathbf{x}_{k-1} = [\Psi^\tau]^2 \mathbf{x}_{k-2} = \cdots = [\Psi^\tau]^k \mathbf{x}_0 \quad (1)$$

stabil ist. Dazu haben wir folgenden

### Satz (1. Eigenwertkriterium)

*Die Rekursion (1) ist genau dann stabil, wenn*

1.  $\rho(\Psi^\tau) \leq 1$  und
2. *Aus  $\lambda \in \sigma(\Psi^\tau)$  mit  $|\lambda| = 1$  folgt, dass dazugehörige Jordan-Blöcke die Größe  $\mu = 1$  haben.*

## Beweis.

Wir haben für eine geeignete Koordinatentransformation  $U$

$$\begin{aligned} [\Psi^\tau]^k &= [UU^{-1}\Psi^\tau UU^{-1}]^k = U[U^{-1}\Psi^\tau U]^k U^{-1} \\ &= U \begin{pmatrix} J_1 & & \\ & \ddots & \\ & & J_m \end{pmatrix}^k U^{-1} = U \begin{pmatrix} J_1^k & & \\ & \ddots & \\ & & J_m^k \end{pmatrix} U^{-1} \end{aligned}$$

## Beweis.

Wir haben für  $k \geq \mu_i$

$$\begin{aligned} J_i^k &= \left[ \begin{pmatrix} \lambda_i & & \\ & \ddots & \\ & & \lambda_i \end{pmatrix} + \underbrace{\begin{pmatrix} 0 & 1 & & \\ & 0 & \ddots & \\ & & 0 & 1 \\ & & & 0 \end{pmatrix}}_{=: N_i} \right]^k = [\lambda_i I + N_i]^k \\ &= \sum_{l=0}^k \binom{k}{l} \lambda_i^{k-l} N_i^l = \lambda_i^k \underbrace{\sum_{l=0}^{\mu_i} \binom{k}{l} \lambda_i^{-l} N_i^l}_{=: P_i(k)} = \lambda_i^k P_i(k) \end{aligned}$$

wobei wir verwendet haben, dass

- ▶  $(A + B)^k = \sum_{l=0}^k \binom{k}{l} A^{k-l} B^l$  für kommutierende Matrizen  $A, B$
- ▶  $N_i^l = 0$  für  $l \geq \mu_i$

## Beweis.

Die Rekursion ist genau dann stabil, wenn es ein  $M \in \mathbb{R}$  gibt, so dass für alle  $k \in \mathbb{R}$

$$M \geq \|[\Psi^\tau]^k \mathbf{x}_0\| = \|U \begin{pmatrix} J_1^k & & \\ & \ddots & \\ & & J_m^k \end{pmatrix} U^{-1} \mathbf{x}_0\|$$

Dies ist genau dann erfüllt, wenn es für alle  $1 \leq i \leq m$   $M_i \in \mathbb{R}$  gibt, so dass

$$M_i \geq \sup_k \|J_i^k \mathbf{y}_0\| = \sup_k |\lambda_i^k| \|P_i(k) \mathbf{y}_0\|$$

Dies ist genau dann der Fall, wenn für alle  $i \in \{1, \dots, m\}$

1.  $|\lambda_i| \leq 1$  und
2. Falls  $|\lambda_i| = 1$ , ist  $\|P_i(k) \mathbf{y}_0\|$  für alle  $k \in \mathbb{N}$  beschränkt

### Beweis.

Der Beweis ist beendet, wenn wir zeigen können, dass  $\|P_i(k)\mathbf{y}_0\|$  für alle  $k \in \mathbb{N}$  genau dann beschränkt ist, wenn  $\mu_i = 1$ . Sei zunächst  $\mu_i > 1$ , dann folgt

$$\begin{aligned}\|P_i(k)\mathbf{e}_2\| &= \left\| \sum_{l=0}^{\mu_i} \binom{k}{l} \lambda_i^{-l} N_i^l \mathbf{e}_2 \right\| = \left\| I\mathbf{e}_2 + \binom{k}{1} \lambda_i^{-1} N_i^1 \mathbf{e}_2 + 0 \right\| \\ &= \|\mathbf{e}_2 + k\mathbf{e}_1\|_1 \geq k \xrightarrow{k \rightarrow \infty} \infty\end{aligned}$$

Ist dagegen  $\mu_i = 1$ , so folgt

$$\|P_i(k)\mathbf{y}_0\| = \left\| \sum_{l=0}^{\mu_i} \binom{k}{l} \lambda_i^{-l} N_i^l \mathbf{y}_0 \right\| = \|\mathbf{y}_0\|$$





### (III) Stabilitätsgebiete

Die Notwendigkeit von

$$1 \geq \rho(\Psi^\tau) = \rho(R(\tau A)) = \max_{\tau\lambda \in \sigma(\tau A)} |R(\tau\lambda)|$$

für eine stabile Rekursion motiviert folgende

#### Definition

Wir bezeichnen die Menge

$$\mathcal{S} := \{z \in \mathbb{C} : |R(z)| \leq 1\} \subseteq \mathbb{C}$$

als absolutes Stabilitätsgebiet.

## Beispiel (Stabilitätsgebiet implizites Euler-Verfahren)

Es gilt

$$\begin{aligned}\mathcal{S} &= \{z \in \mathbb{C} : |R_{\text{impl. Euler}}(z)| \leq 1\} \\ &= \{z \in \mathbb{C} : \frac{1}{|1-z|} \leq 1\} \\ &= \{z \in \mathbb{C} : 1 \leq |1-z|\} \\ &= \mathbb{C} \setminus B_1(1)\end{aligned}$$

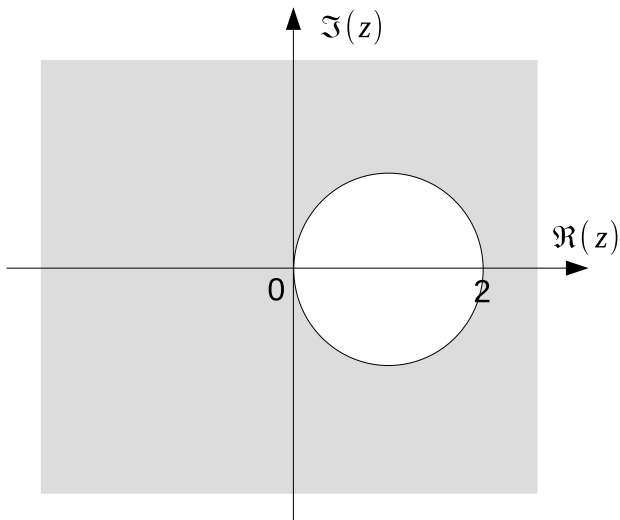


Abbildung: Stabilitätsgebiet des impliziten Euler-Verfahrens

## Proposition

*Das Stabilitätsgebiet eines konsistenten Einschrittverfahrens  $\Psi^\tau$  liegt lokal links vom Nullpunkt. Insbesondere ist  $0 \in \partial \mathcal{S}$ .*

## Beweis.

Aus der Konsistenz folgt für  $z \rightarrow 0$

$$R(z) = 1 + z + \mathcal{O}(z^2)$$

und deshalb

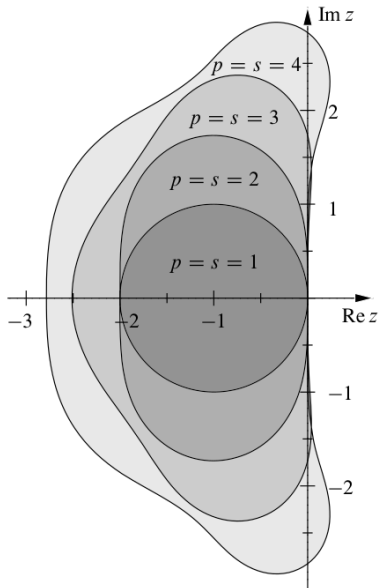
$$|R(z)| = \begin{cases} > 1 & \text{für } z \in \mathbb{R}, z > 0, |z| \text{ klein} \\ < 1 & \text{für } z \in \mathbb{R}, z < 0, |z| \text{ klein} \end{cases}$$



## Beispiel (Stabilitätsgebiet explizites Euler-Verfahren)

Es gilt

$$\begin{aligned}\mathcal{S} &= \{z \in \mathbb{C} : |R_{\text{expl. Euler}}(z)| \leq 1\} \\ &= \{z \in \mathbb{C} : |1 + z| \leq 1\} \\ &= B_1(-1)\end{aligned}$$



**Abbildung:** Stabilitätsgebiete für Runge-Kutta-Verfahren der Konvergenzordnung  $p$

## Proposition

*Das Stabilitätsgebiet eines Runge-Kutter-Verfahrens ist beschränkt*

## Beweis.

Dies folgt aus  $R(z) = P(z) \rightarrow \infty$  für  $|z| \rightarrow \infty$ .



Wir wollen für gegebenes  $A$  und  $R$  wissen, wie klein die Schrittweite sein muss, damit das Verfahren stabil ist.

### Definition

Die charakteristische Schrittweite ist gegeben durch

$$\tau_c := \sup \left\{ \bar{\tau} > 0 \mid \begin{array}{l} \text{die Rekursion } x_{k+1} = \Psi^{\tau} x_k \\ \text{ist für } 0 < \tau \leq \bar{\tau} \text{ stabil} \end{array} \right\}$$



## Satz (2. Eigenwertkriterium)

*Die Rekursion*

$$x_{k+1} = \Psi^{\tau} x_k$$

*ist genau dann stabil, wenn*

1.  $\sigma(\tau A) \subseteq \mathcal{S}$
2. Für einen Eigenwert  $\tau\lambda \in \sigma(\tau A) \cap \partial\mathcal{S}$  mit Jordan-Block-Größe  $\mu$  folgt  $R^{(j)}(\tau\lambda) = 0$  für  $j \in \{1, \dots, \mu - 1\}$

*erfüllt sind*

**Beweis.**

Den Beweis findet man in (Spijker, 1998; Thrm. 6.1.1).



## Bemerkung

Es gilt

$$\begin{aligned}\sigma(\tau A) \subseteq \mathcal{S} &\iff 1 \geq |R(\sigma(\tau A))| = |\sigma(R(\tau A))| \\ &\iff 1 \geq \rho(R(\tau A)) = \rho(\Psi^\tau)\end{aligned}$$

## Beispiel (Stabilitätskriterium expliziter Euler)

Für das explizite Euler-Verfahren haben wir als Bedingungen für Stabilität

1.  $\sigma(\tau A) \subseteq \mathcal{S} = B_1(-1)$
2. Für einen Eigenwert  $\tau\lambda \in \sigma(\tau A) \cap \partial\mathcal{S} = \sigma(\tau A) \cap \partial B_1(-1)$  mit Jordan-Block-Größe  $\mu$  folgt  $R_{\text{expl. Euler}}^{(j)}(\tau\lambda) = 0$  für  $j \in \{1, \dots, \mu - 1\}$

Da  $R'_{\text{expl. Euler}}(z) = [1 + z]' = 1$ , muss für die 2. Bedingung  $\mu = 1$  gelten. Wir erhalten

1.  $\sigma(\tau A) \subseteq B_1(-1)$
2. Für einen Eigenwert  $\tau\lambda \in \sigma(\tau A) \cap \partial B_1(-1)$  folgt, dass dazugehörige Jordan-Blöcke die Größe  $\mu = 1$  haben

## Beispiel (Stabilitätskriterium expliziter Euler mit Testproblem)

Der explizite Euler mit dem Testproblem ist genau dann stabil, wenn

1.  $\tau\lambda = \sigma(\tau\lambda) \subseteq B_1(-1)$ . Da  $\tau\lambda \in \mathbb{R}$  und  $0 < \tau$ , ist dies äquivalent zu  $0 \leq \tau|\lambda| \leq 2$ , also  $\tau \leq \frac{2}{|\lambda|}$ .
2. Für einen Eigenwert  $\tau\lambda \in \sigma(\tau\lambda) \cap \partial B_1(-1)$  folgt, dass dazugehörige Jordan-Blöcke die Größe  $\mu = 1$  haben. Dies ist für das Testproblem immer erfüllt.

Der explizite Euler mit dem Testproblem ist also genau dann stabil, wenn

$$\tau \leq \frac{2}{|\lambda|}$$

Damit ist  $\tau_c = \frac{2}{|\lambda|}$  und kann für  $\lambda \rightarrow -\infty$  beliebig klein werden, was die Steifheit des Problems erklärt.

## (IV) Stabilitätsbegriffe: A-Stabilität

### Definition

Wir bezeichnen ein Einzelschrittverfahren als A-stabil, falls für das Stabilitätsgebiet gilt

$$\mathbb{C}^- := \{z \in \mathbb{C} : \Re(z) \leq 0\} \subseteq \mathcal{S}$$

### Bemerkung

$\mathbb{C}^-$  ist gerade das Stabilitätsgebiet der Exponentialfunktion. Die Stabilität wird also für A-stabile Verfahren unabhängig von dem Spektrum der Matrix  $A$  vererbt.

### Beispiel

Das implizite Euler-Verfahren ist A-stabil. Nach der letzten Proposition sind Runge-Kutta-Verfahren nicht A-stabil.

# $A(\alpha)$ -Stabilität

Interessieren uns die Eigenwerte auf der imaginären Achse nicht, so kann man sich auch mit  $A(\alpha)$ -Stabilen-Verfahren begnügen, die folgendes Stabilitätsgebiet haben:

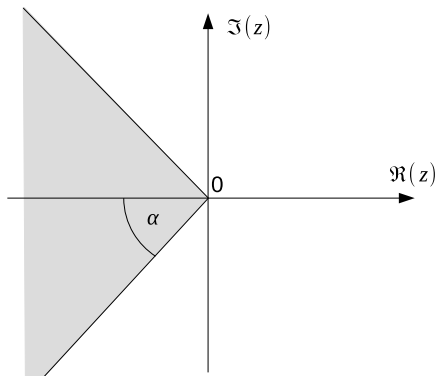


Abbildung: Stabilitätsgebiet eines  $A(\alpha)$ -stabilen Verfahrens

## Beispiel

Betrachten wir das Problem

$$\begin{cases} \mathbf{x}' = A\mathbf{x} \\ \mathbf{x}(0) = (1, 0)^\top \end{cases}$$

mit der Matrix

$$A = \begin{pmatrix} 0 & 1 \\ -1 & 0 \end{pmatrix}$$

so liefern explizites und implizites Euler-Verfahren für jede Schrittweite unbefriedigende Lösungen

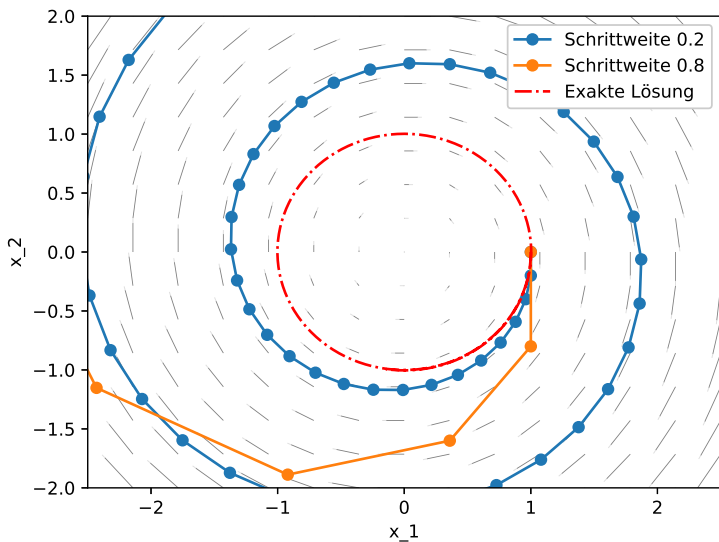


Abbildung: Expliziter Euler angewandt auf  $\mathbf{x}' = A\mathbf{x}$  mit  $\mathbf{x}(0) = (1, 0)^T$



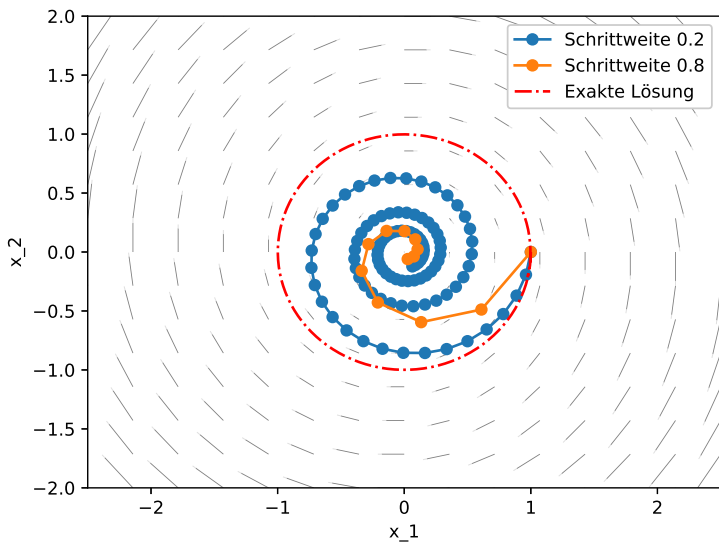


Abbildung: Impliziter Euler angewandt auf  $\mathbf{x}' = \mathbf{A}\mathbf{x}$  mit  $\mathbf{x}(0) = (1, 0)^\top$

## Beispiel

Das Problem liegt daran, dass  $\sigma(A) = \{-i, i\}$ , also nur rein imaginäre Eigenwerte vorkommen. Damit ist  $\Phi^t = \exp(tA)$  eine Isometrie. Dieser Stabilitätsbegriff führt zu Verfahren, welche die Isometrie von  $\Phi^t$  erhalten. Ein Beispiel ist

$$R(z) = \frac{1 + z/2}{1 - z/2}$$

# Zusammenfassung

1. Das Stabilitätsgebiet  $\mathcal{S} := \{z \in \mathbb{C} : R(z) \leq 1\}$
2. Hinreichende Kriterien für die Stabilität einer Rekursion sind
  - 2.1 1. Eigenwertkriterium:  $\rho(\Phi^\tau) = \rho(R(\tau A)) < 1$
  - 2.2 2. Eigenwertkriterium:  $\sigma(\tau A) \subseteq \mathcal{S} \setminus \partial \mathcal{S}$
3. Für  $\rho(\Phi^\tau) = 1$  und  $\sigma(\tau A) \cap \partial \mathcal{S} \neq \emptyset$  gibt es zusätzliche Bedingungen
4. Es gibt verschiedene Stabilitätsbegriffe
  - 4.1 A-Stabilität:  $\mathbb{C}^- \subseteq \mathcal{S}$
  - 4.2  $A(\alpha)$ -Stabilität, Isometrie erhaltend

Danke für die Aufmerksamkeit.

Fragen?

# Quellen I

-  Deuflhard, P.; Bornemann, F. (2013). Numerische Mathematik 2, Gewöhnliche Differentialgleichungen. Retrieved from <https://www.degruyter.com/document/doi/10.1515/9783110316360/html>
-  Hermann, M. (2017). Numerik gewöhnlicher Differentialgleichungen, Band 1: Anfangswertprobleme und lineare. Retrieved from <https://www.degruyter.com/document/doi/10.1515/9783110498882/html>.
-  Lee, H.; Wong, J. (2020). Math 361S Lecture Notes Numerical solution of ODEs. Retrieved from <https://services.math.duke.edu/~holee/math361-2020/lectures/Lec7-ODEs.pdf>
-  Spijker, M.N.(1998). Numerical Stability. Retrieved from <https://www.math.leidenuniv.nl/~spijker/NumStab98.pdf>

# Quellen II

Mit Bildern von

- ▶ Stabilitätsregionen der Runge-Kutta-Verfahren: Abb. 6.2 aus (Deuflhard; Bornemann, 2013)